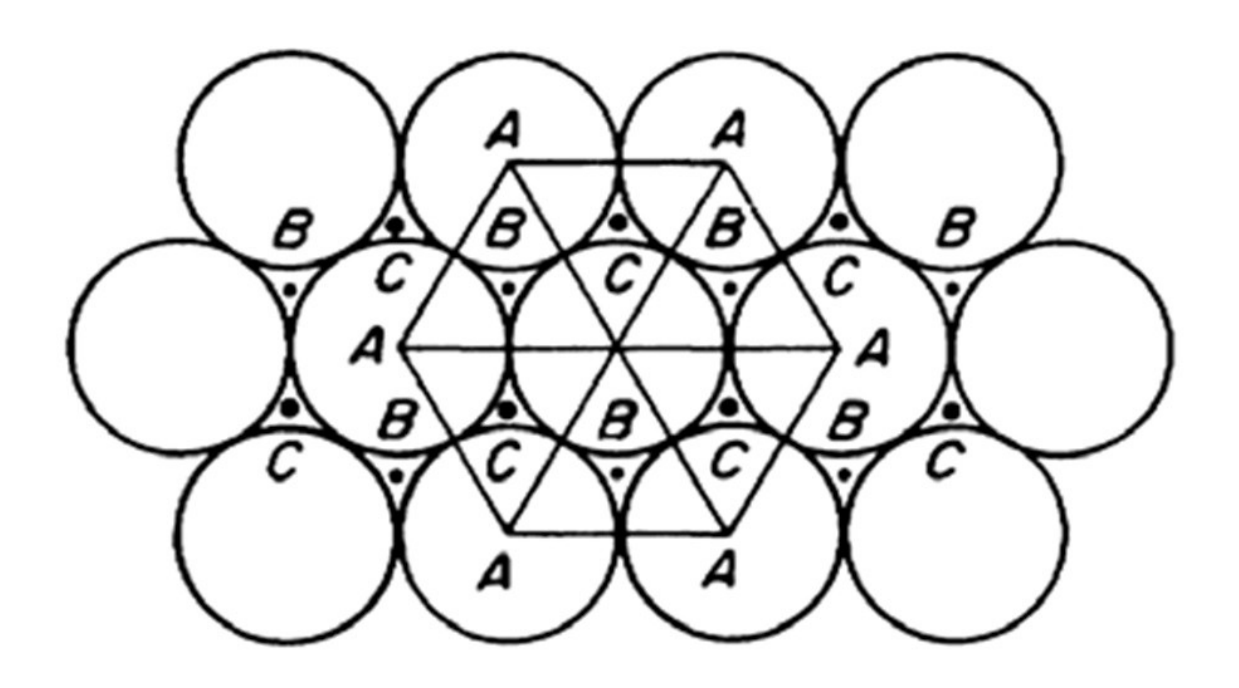
Лекция 3



- Особенности реальной структуры опалов и инвертированных опалов.
- Влияние несовершенств реальной структуры опалов и инвертированных опалов на их оптические свойства.
- Методы исследования дефектов структуры опалов и инвертированных опалов:
 - методы микроскопии и оптической спектроскопии,
 - малоугловая рентгеновской дифракции,
 - лазерной дифракции,
 - кольца Косселя.
- Способы повышения структурного совершенства опалов и инвертированных опалов

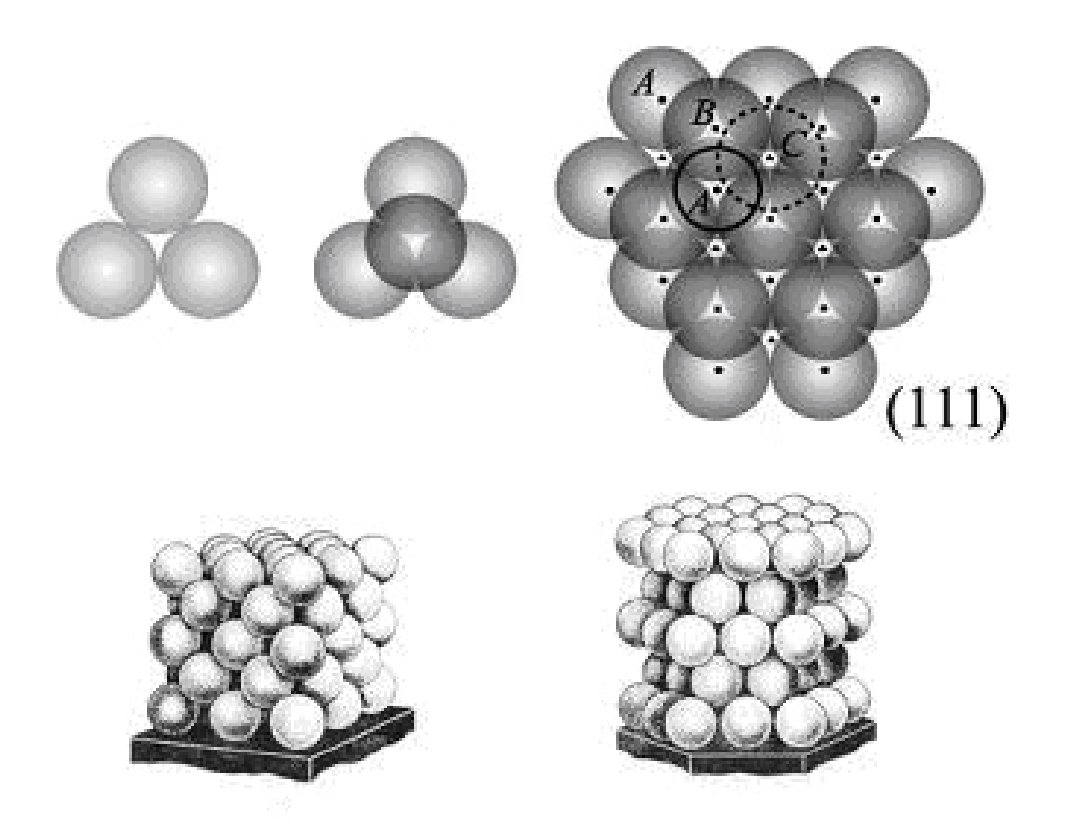




Относительное расположение плотных слоев микросфер: позиции А, В и С.

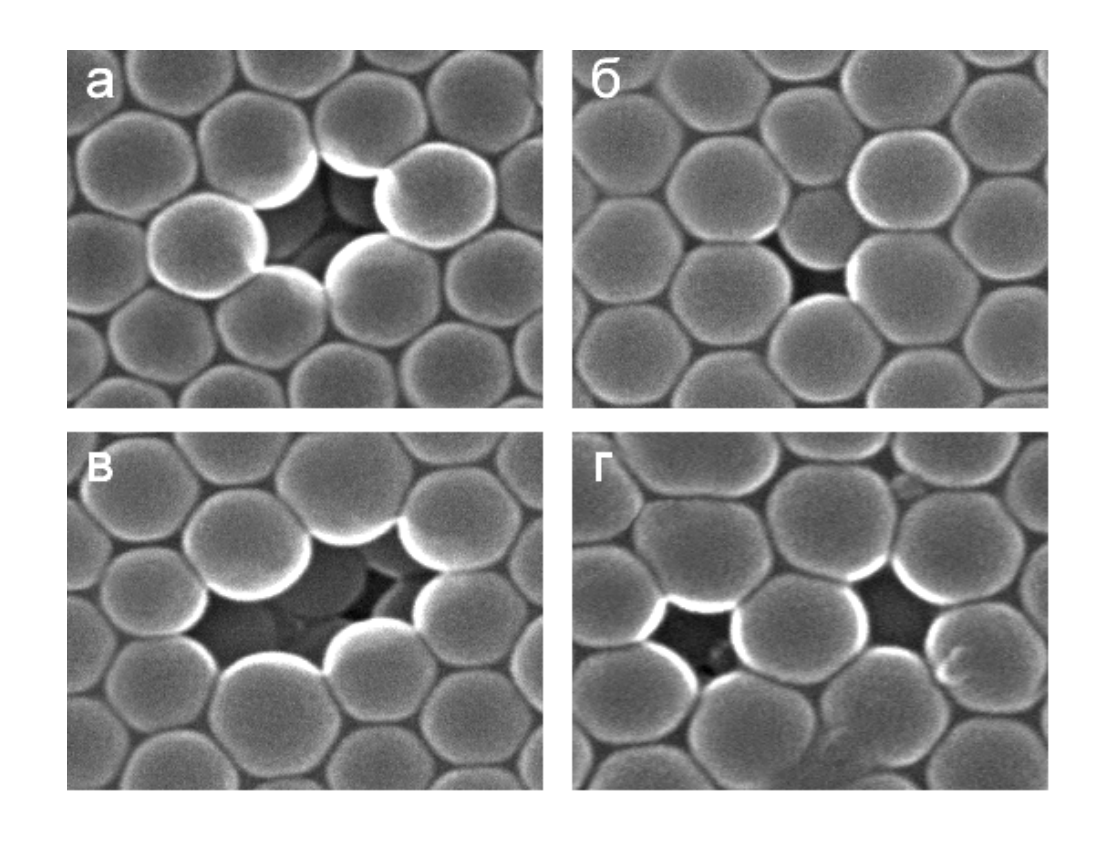
Пусть α — вероятность того, что слои n и n+2 находятся в разных позициях. Тогда значению $\alpha=1$ соответствует ГЦК-структура, $\alpha=0$ — ГПУ, а $\alpha=\frac{1}{2}$ - случайная гексагональная плотнейшая упаковка (СГПУ).





Формирование плотноупакованной структуры микросфер: образование первого слоя (А), второго слоя (В) и третьего слоя (С); ГЦК структура (слева); ГПУ структура (справа).

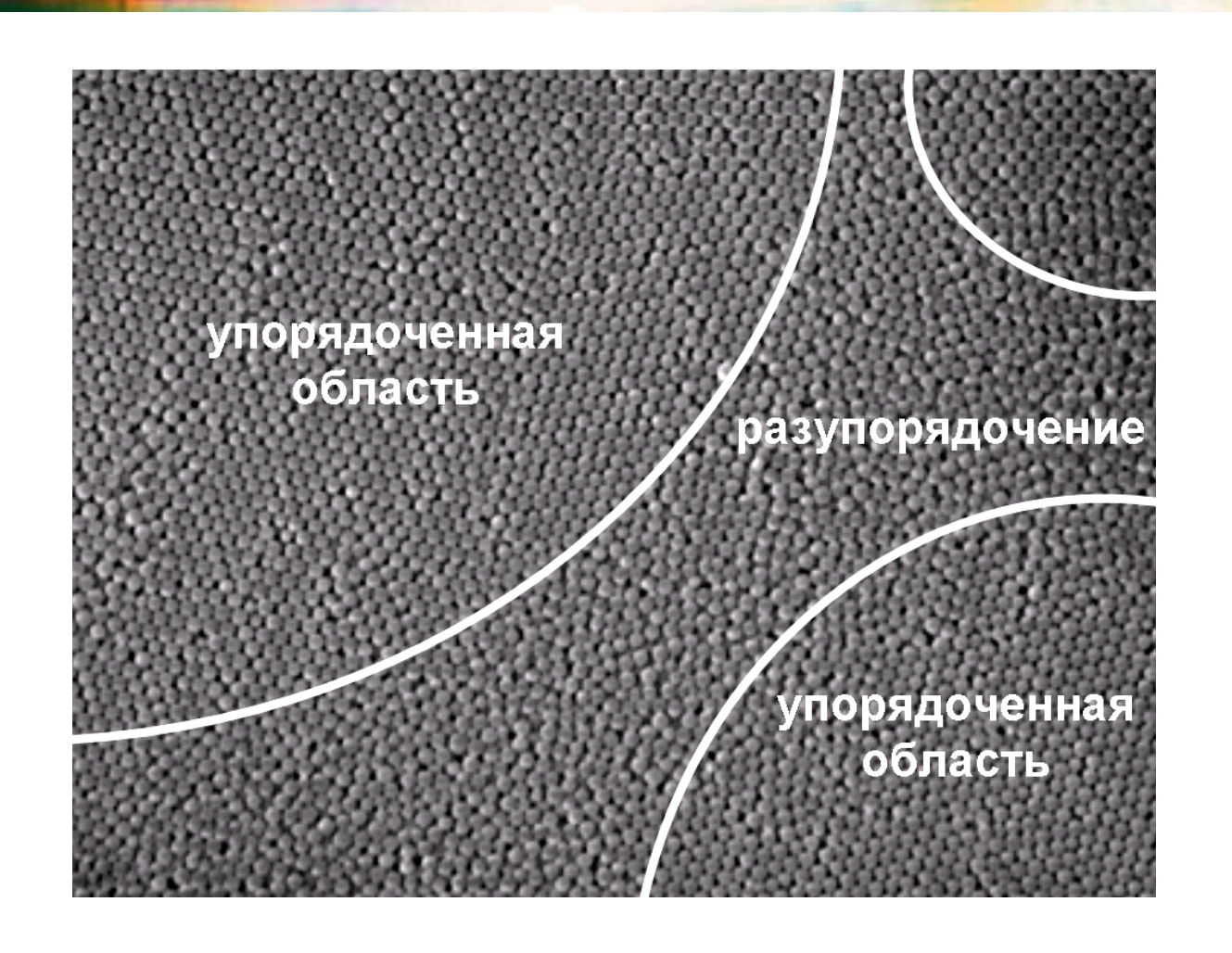




Микрофотографии точечных дефектов в упаковке сферических частиц SiO₂ (средний диаметр микросфер – 270 нм):

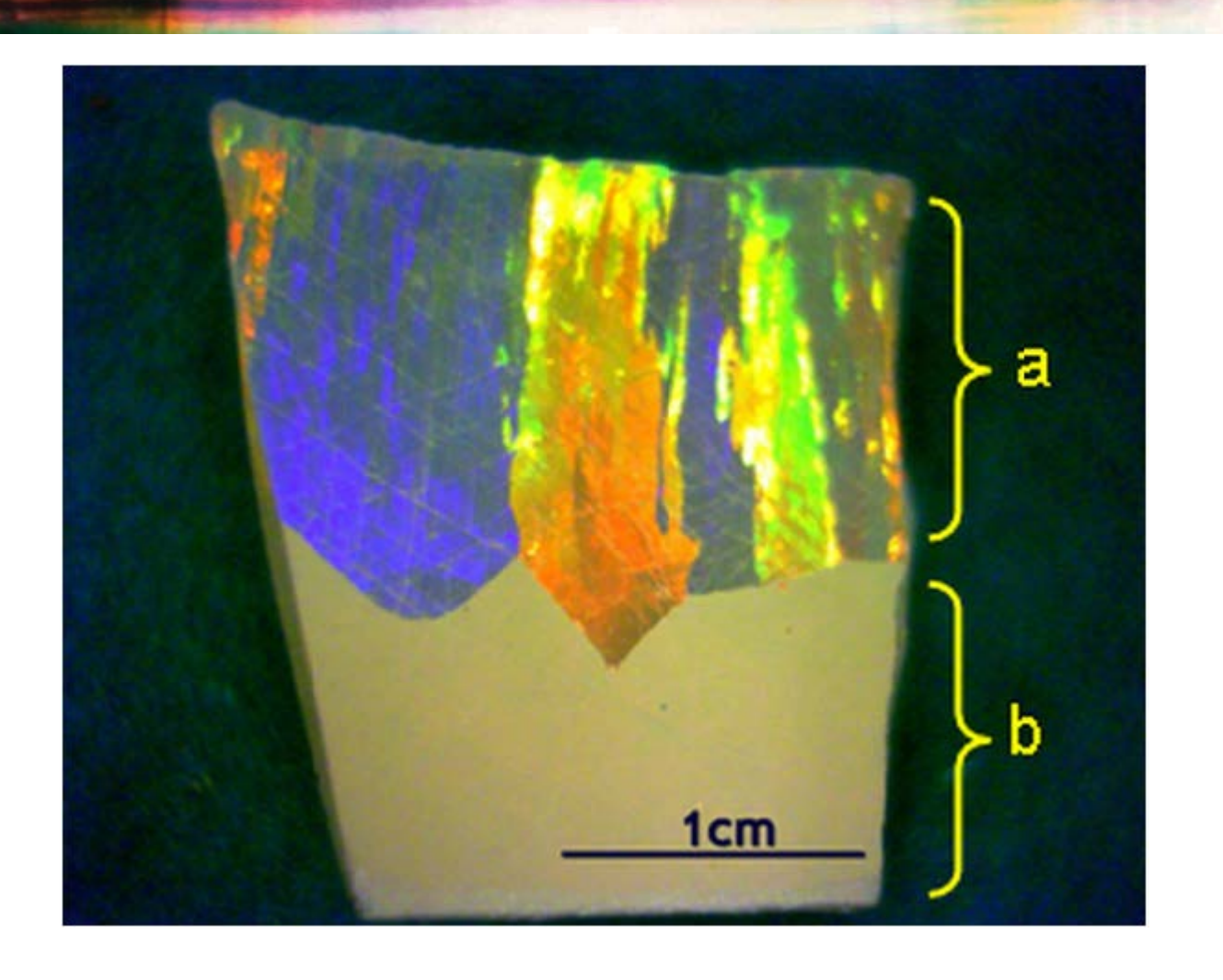
(а) – вакансия, (б) – междоузлие, (в) и (г) – вакансионные комплексы (А.С. Синицкий и др., *Неорган. Матер.*, **41** (2005) 1336).





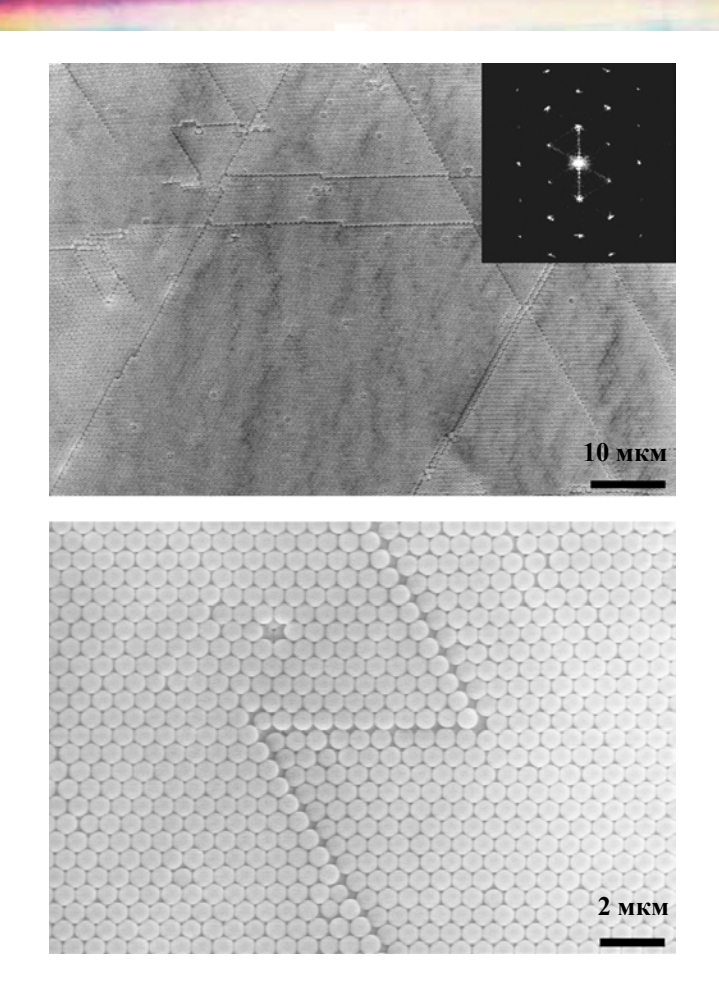
Доменная структура синтетических опалов (А.С. Синицкий и др., *Неорган. Матер.*, **41** (2005) 1336).





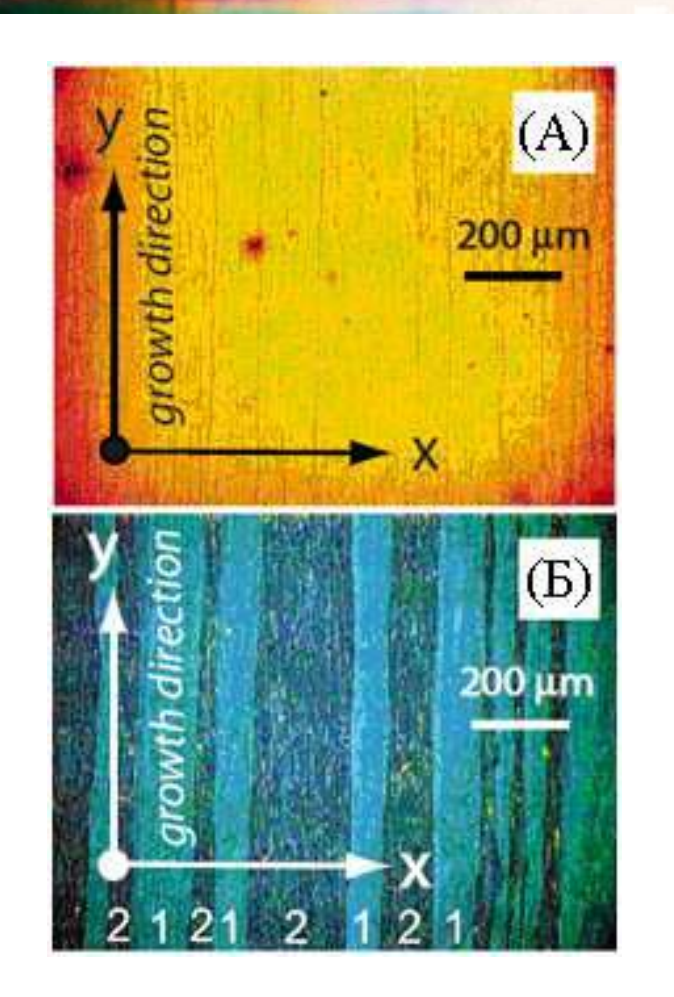
Доменная структура синтетических опалов (V.M. Masalov et al., *Nanotechnology*, **22** (2011) 275718).

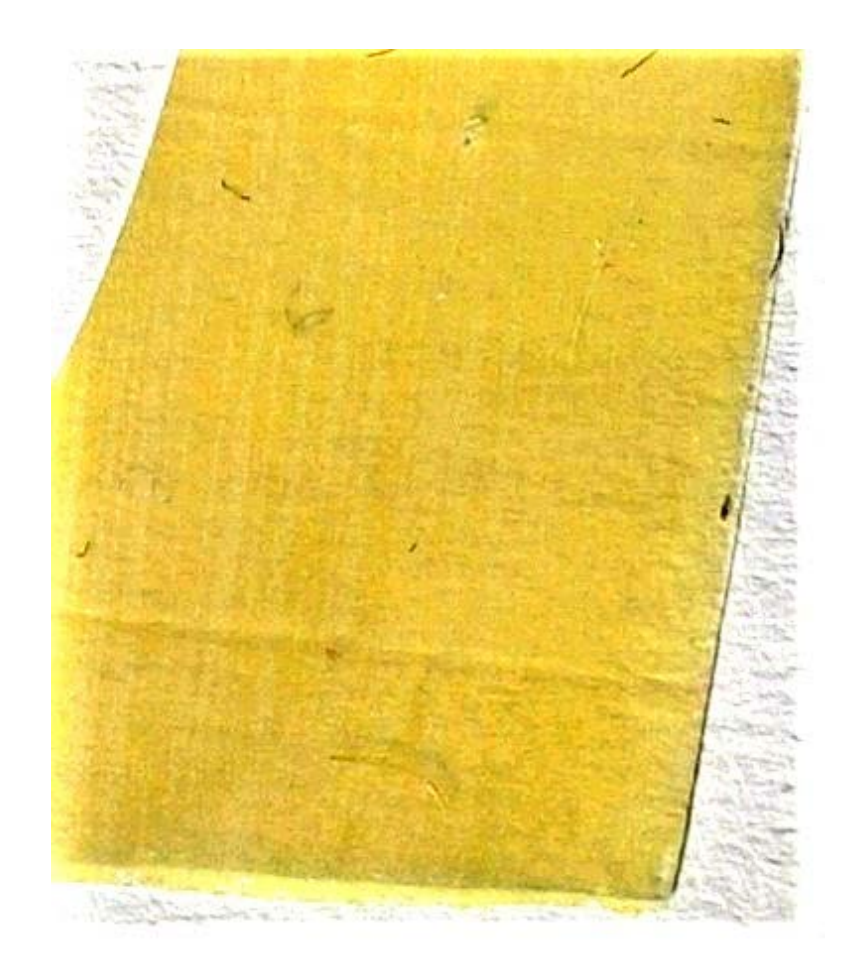




Полученные с помощью сканирующей электронной микроскопии изображения поверхности пленки опалового типа из микрочастиц полистирола диаметром 655 нм (A.S. Sinitskii et al., *Mend. Commun.*, 17 (2007) 4).







Двойникование пленок, получаемых методом вертикального осаждения (L.C. Andreani et al., Phys.Rev.B **78** (2008) 205304).



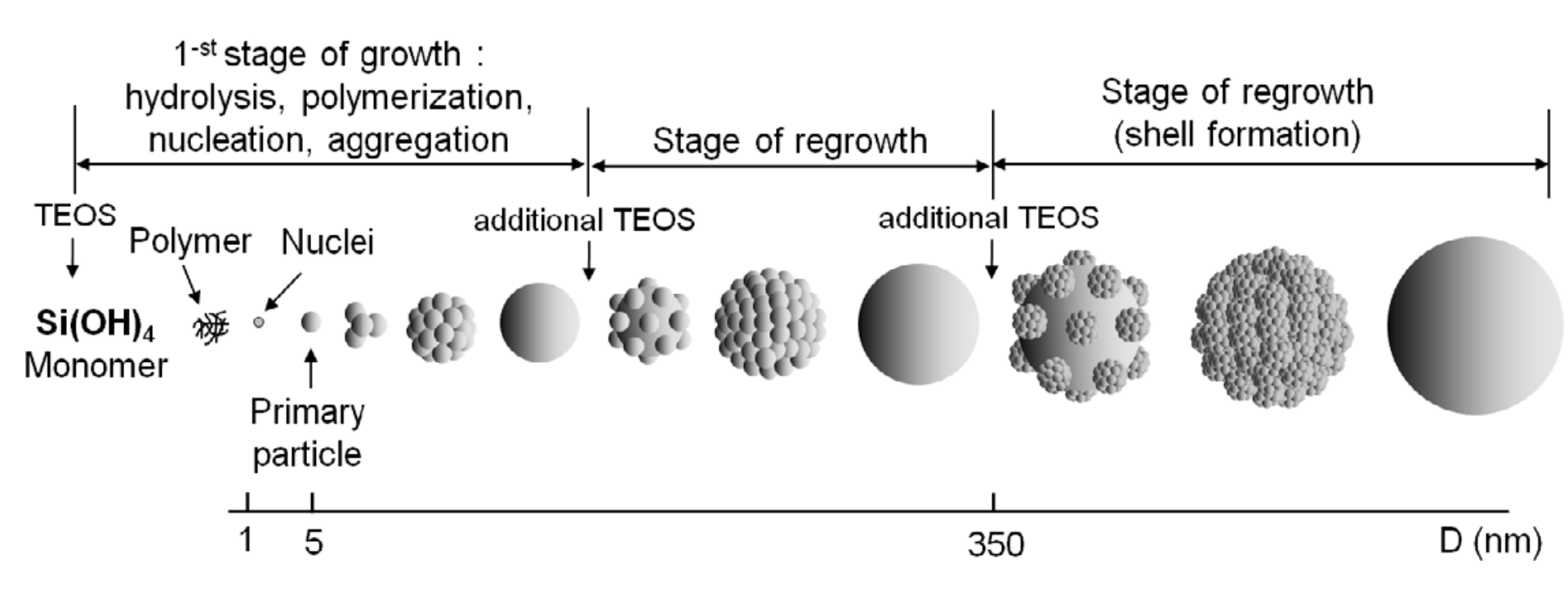


Схема роста частиц SiO₂ при многоступенчатом методе Штобера (V.M. Masalov et al., *Nanotechnology*, **22** (2011) 275718).



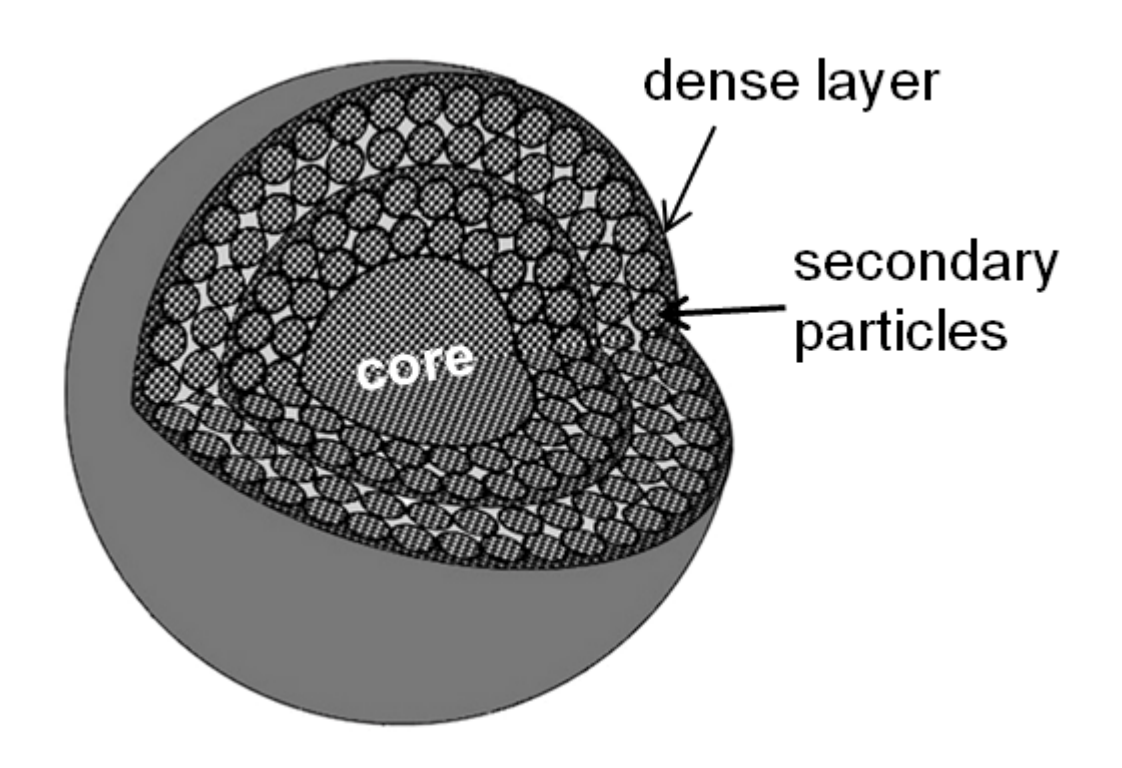


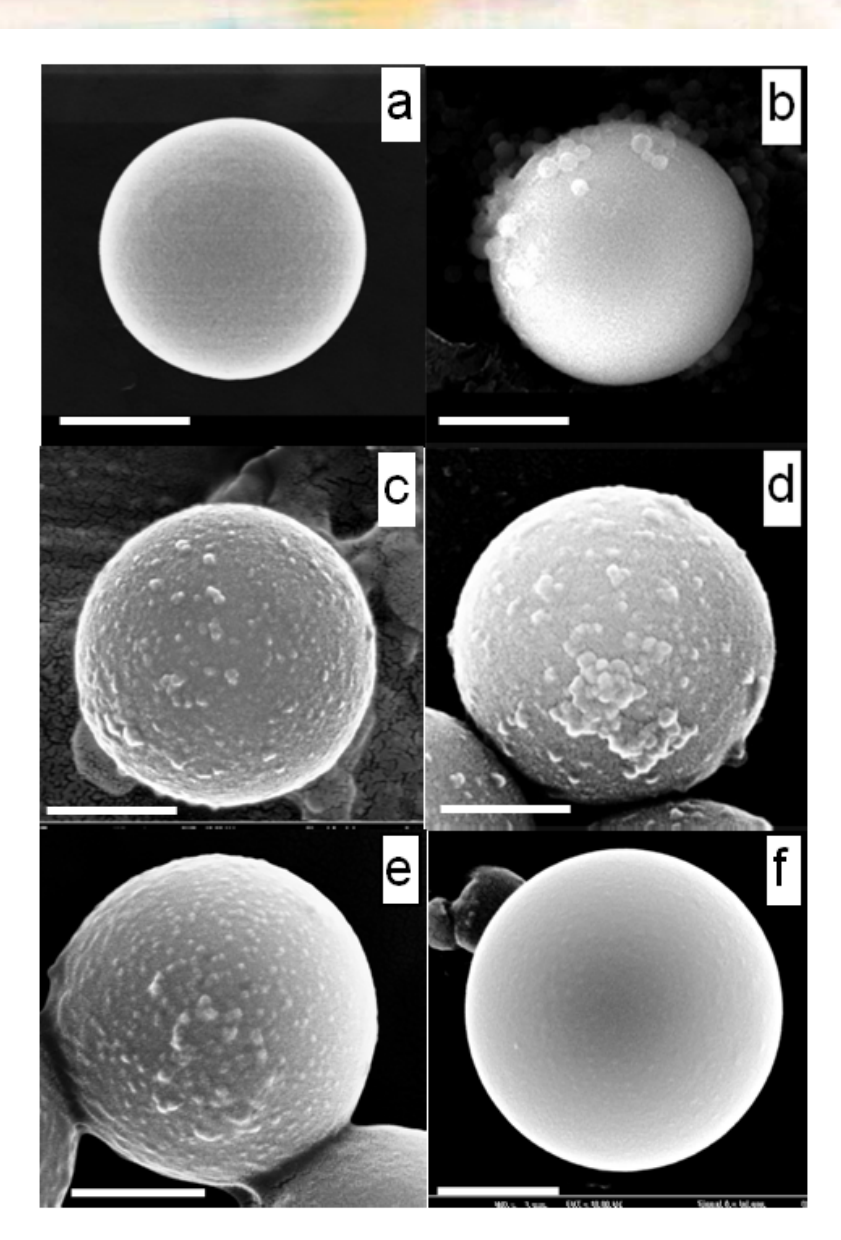
Схема внутренней структуры частиц SiO₂, полученных многоступенчатым методом Штобера (V.M. Masalov et al., *Nanotechnology*, **22** (2011) 275718).



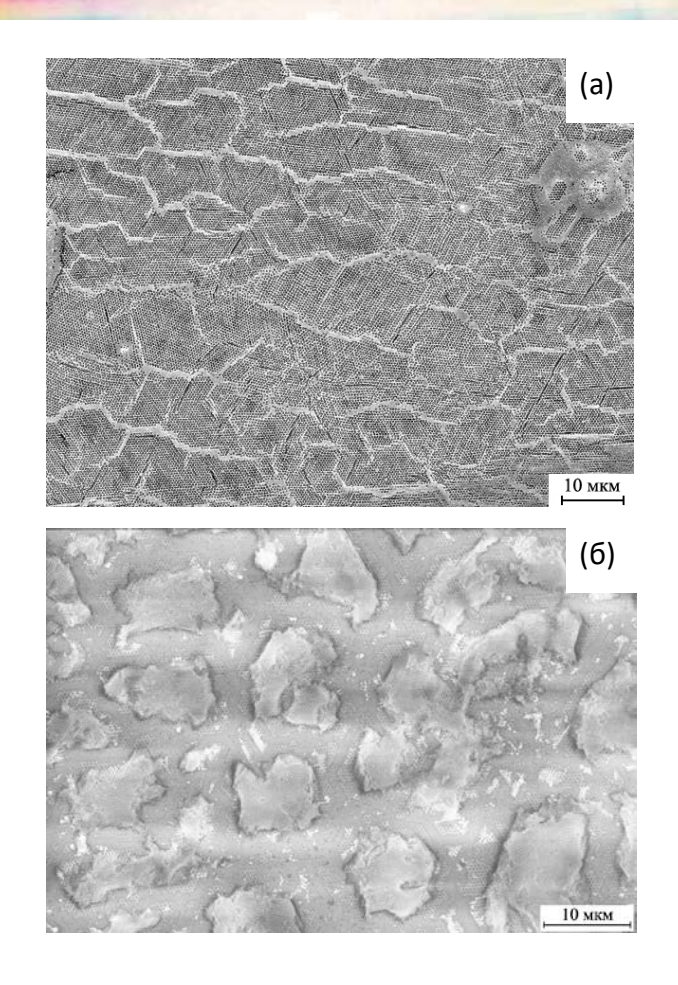
Изменения структуры поверхности частиц SiO_2 , происходящие в ходе одной стадии доращивания (от 1 до 1.3 мкм).

Масштабные метки – 0.5 мкм.

V.M. Masalov et al., *Nanotechnology*, **22** (2011) 275718.



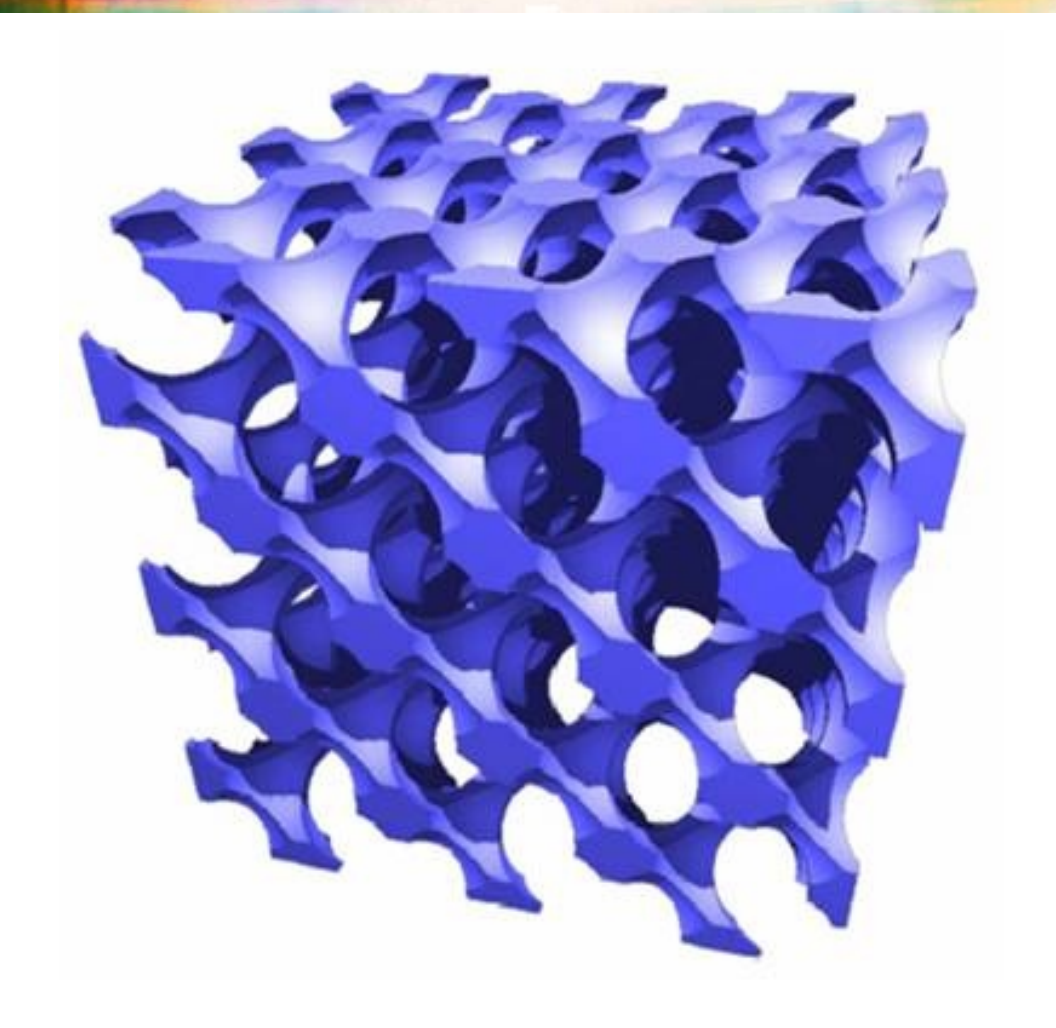




Электронно-микроскопическое изображение островковой микроструктуры пленок инвертированного опала на основе (a) ZnO и (б) Al_2O_3 .

Темплатные методы синтеза инвертированных опалов

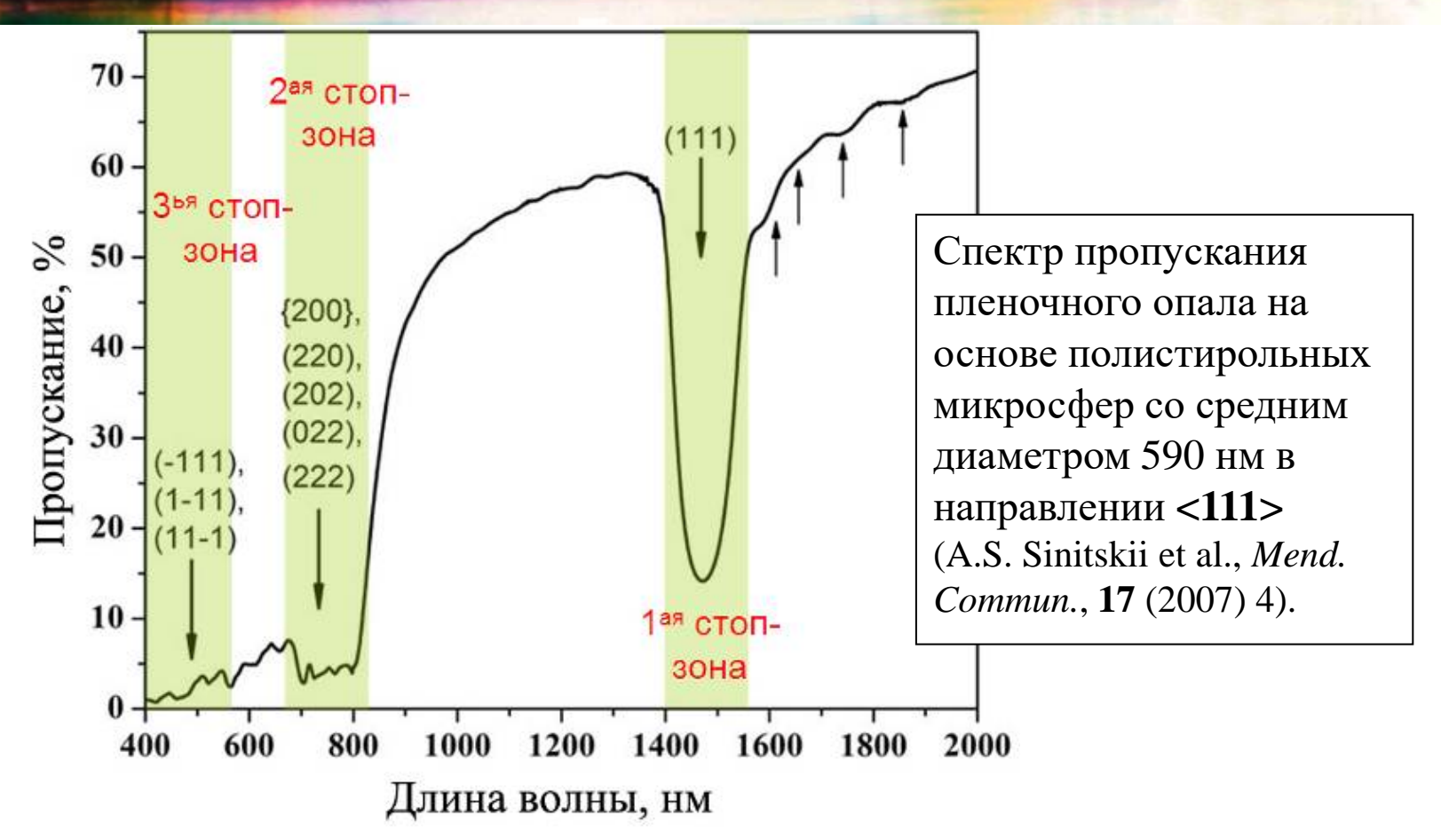




Структура инвертированного опала (компьютерное моделирование).

Оптические свойства опалов



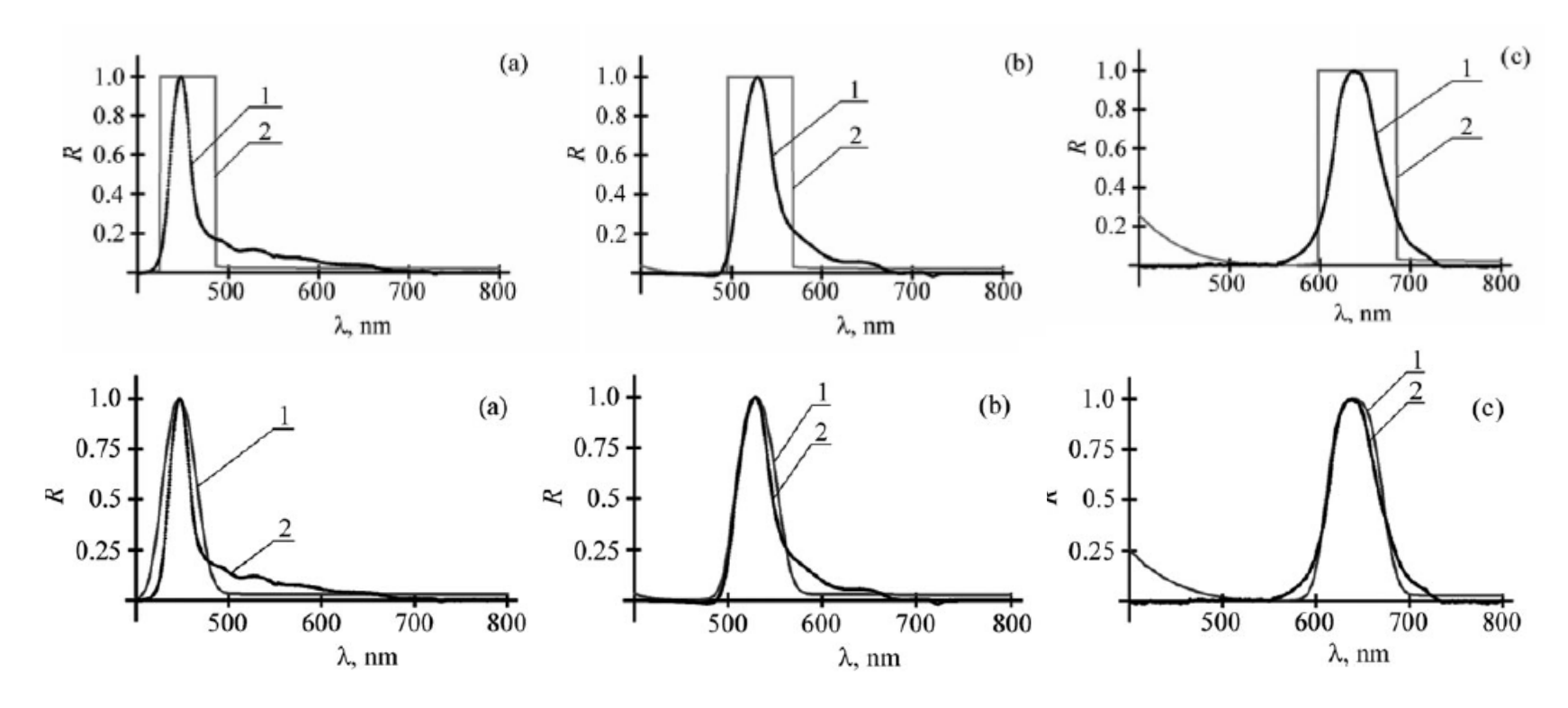


Положение стоп-зоны:

$$\lambda = \frac{2d}{m} \sqrt{n^2(\lambda) - \sin^2 \Theta}$$
, где $\mathbf{n} = [\mathbf{n}_{PS}^2(\lambda) \cdot \mathbf{f}_{PS} + \mathbf{n}_{air}^2 \cdot (\mathbf{1} - \mathbf{f}_{PS})]^{\frac{1}{2}}$, $m = 1, 2, 3, ...$

Влияние несовершенств реальной структуры опалов и инвертированных опалов на их свойства





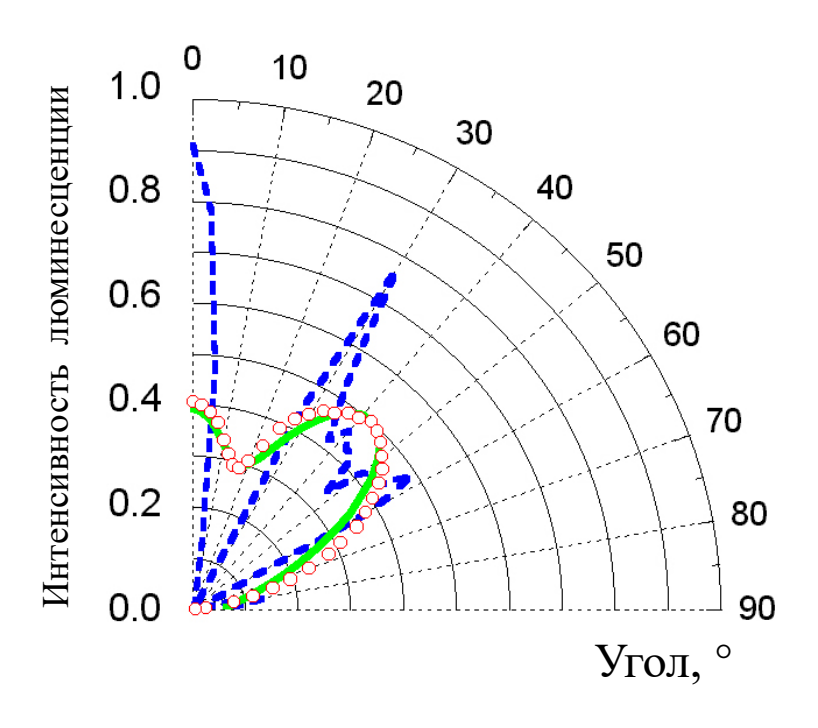
Нормальное отражение от поверхности (111) синтетических опалов из микрочастиц SiO_2 разного диаметра: a-205, b-240 и c-290 нм.

Нижний ряд: расчетные кривые (1) получены с учетом стандартного отклонения диаметров микрочастиц S=4 нм.

V.S. Gorelik and V.V. Filatov., *Bulletin of the Lebedev Physics Institute*, **39** (2012), № 11, 13.

Влияние несовершенств реальной структуры опалов и инвертированных опалов на их свойства

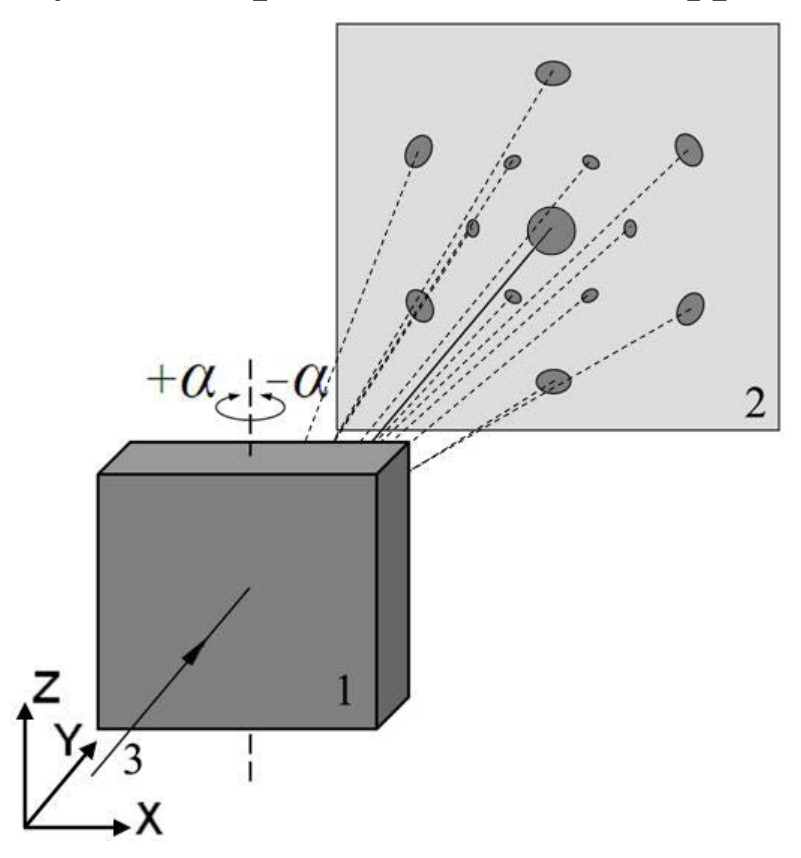




Расчетная (синяя пунктирная кривая) и экспериментальная (красные кружки) диаграммы направленности одной из полос свечения ионов Eu³⁺, внедренных в инвертированный опал в составе металл-органических люминесцентных комплексов (М. Li et al., *Appl. Phys. B*, **89** (2007) 251).



Малоугловая рентгеновская дифракция

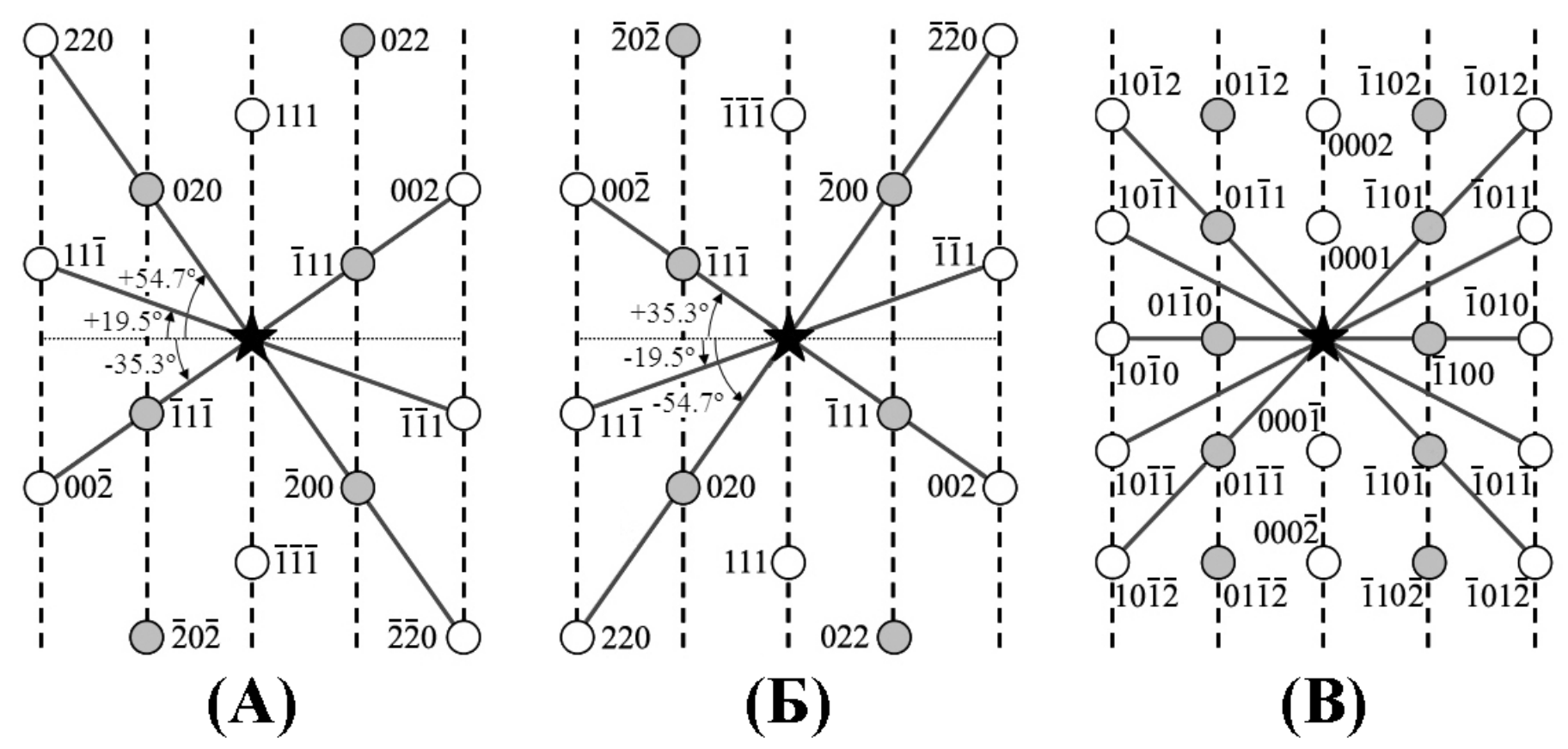


Зависимости интенсивности различных дифракционных рефлексов от угла поворота α пленки инвертированного опала из $\mathrm{Fe_2O_3}$.

Схема эксперимента: 1 – образец, 2 – детектор, 3 – пучок синхротронного излучения (В.В. Абрамова и др., $\mathcal{K} \mathcal{F} \mathcal{T} \Phi$, **136** (2009) 37).

Влияние несовершенств реальной структуры опалов и инвертированных опалов на их свойства



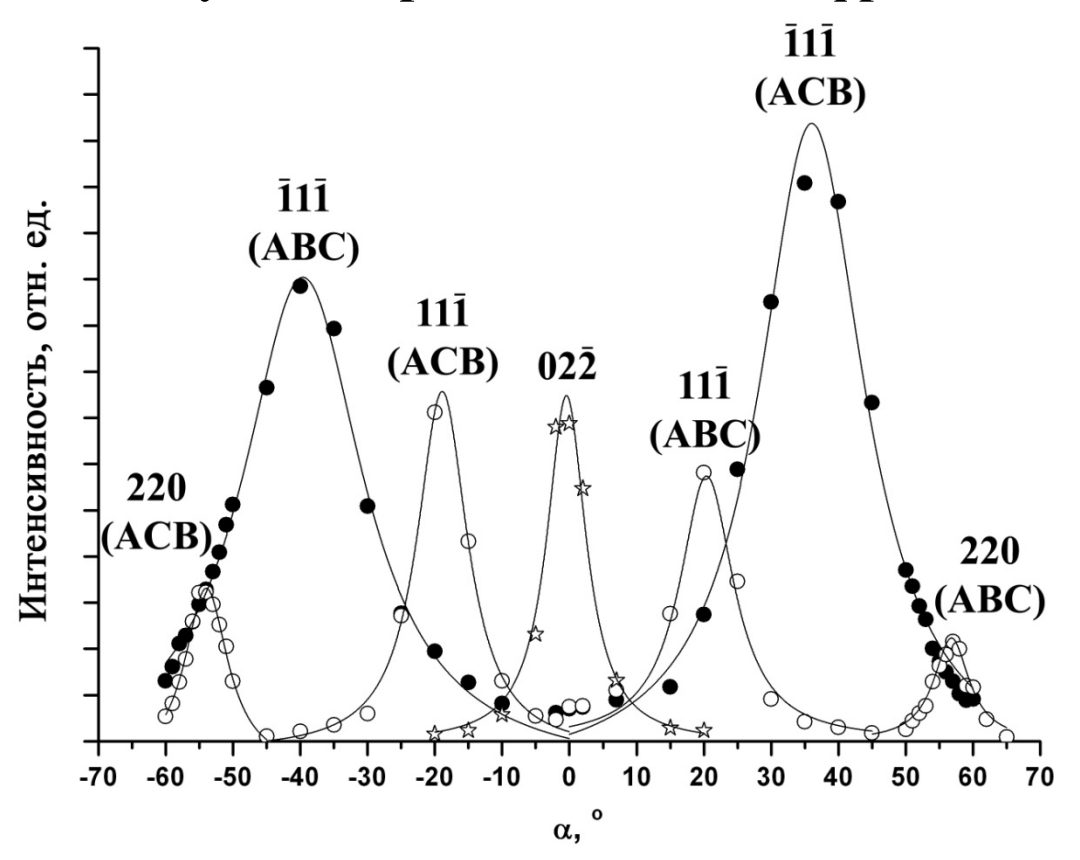


Проекция узлов обратного пространства на плоскость, перпендикулярную плотным слоям. Белым отмечены узлы, находящиеся в плоскости, серым – лежащие на $2\pi/a$ выше.

- (А) ГЦК структура с чередованием слоев АВС, (Б) ГЦК структура с чередованием слоев АСВ,
- (В) ГПУ структура. Пунктиром показана плоскость (111) для ГЦК и (0001) для ГПУ. Углы рассчитаны из геометрических соображений.

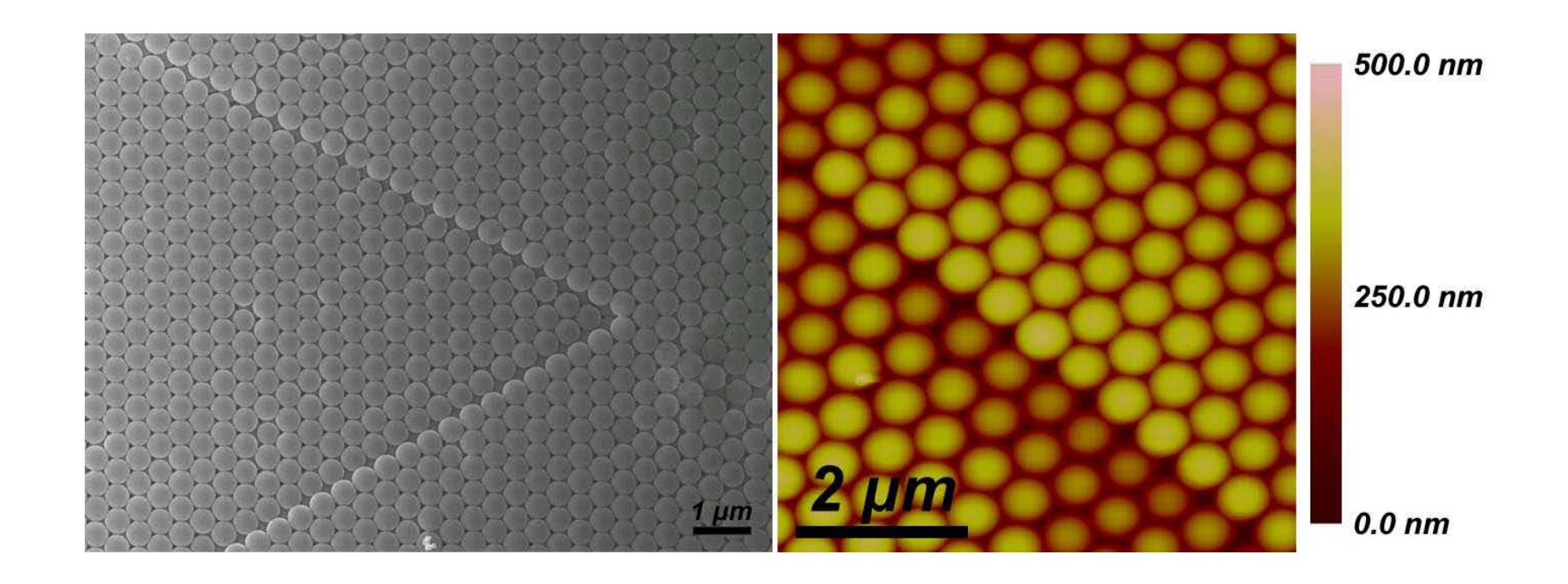


Малоугловая рентгеновская дифракция



Зависимости интенсивности различных дифракционных рефлексов от угла поворота α пленки инвертированного опала из Fe_2O_3 . Точки — экспериментальные данные, линии — аппроксимация пиков распределениями Лоренца (В.В. Абрамова и др., $\mathcal{K} \mathcal{F} \mathcal{T} \Phi$, **136** (2009) 37).

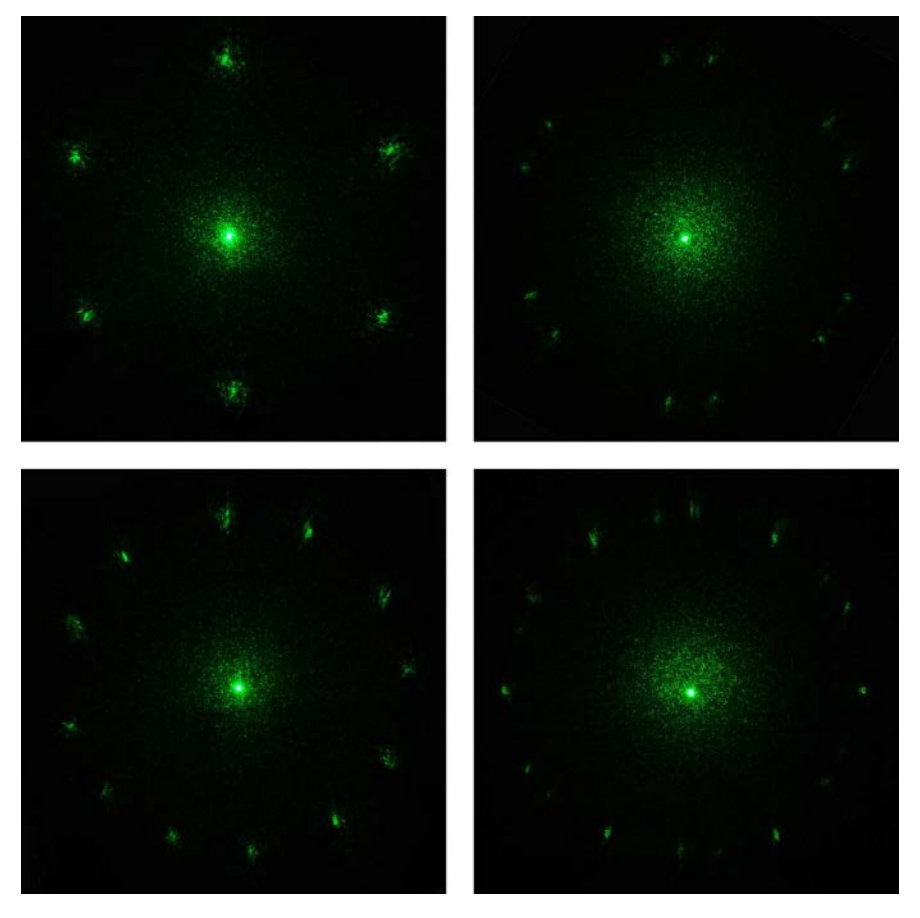




Проявление парных наклонных дефектов упаковки в верхнем плотноупакованном слое пленочного опала. Слева — данные электронной микроскопии, справа — данные атомно-силовой микроскопии (J. Hilhorst et al., *Langmuir*, **25** (2009) 10408).



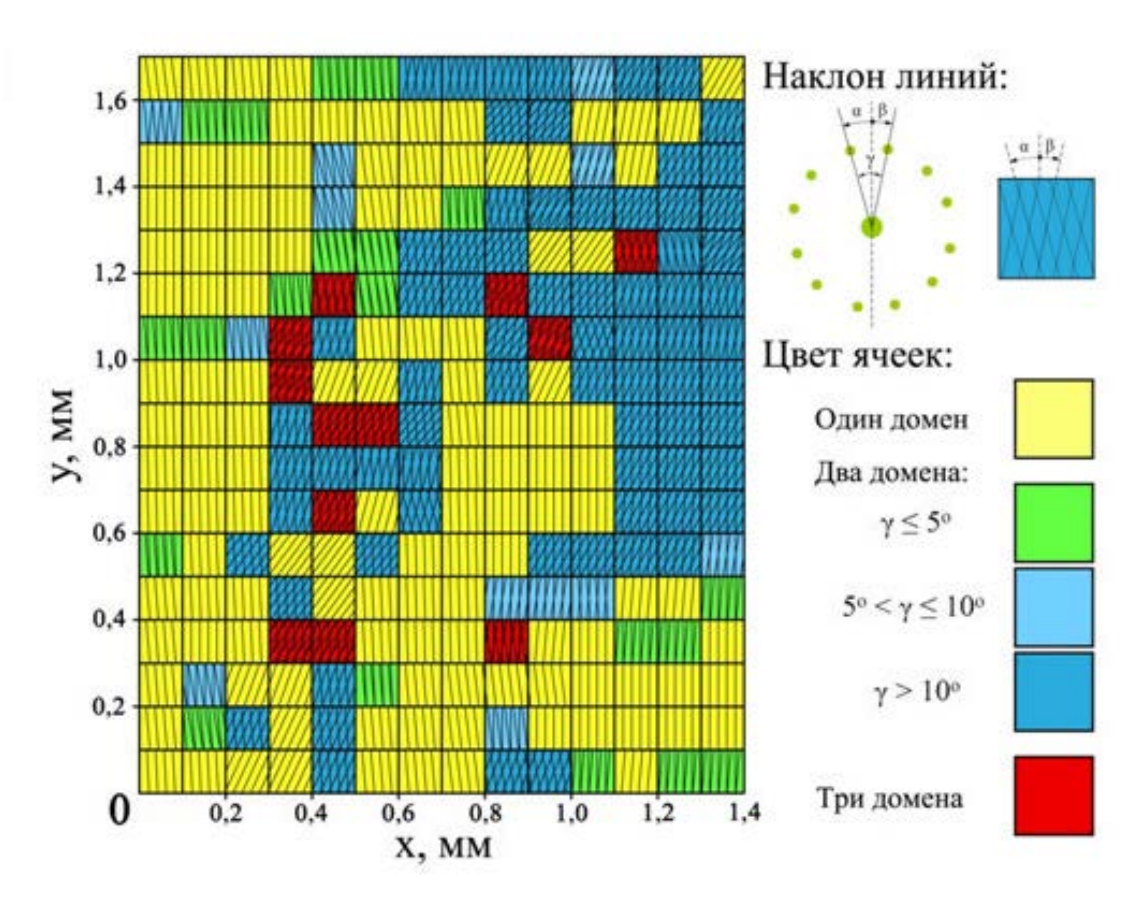
Лазерная дифракция



Дифракционные картины, соответствующие участкам пленки инвертированного опала WO_3 с одной (а), двумя (б, в) и тремя (г) ярко выраженными ориентациями доменов (A. Sinitskii et al., *Physics Letters A*, **366** (2007) 516).



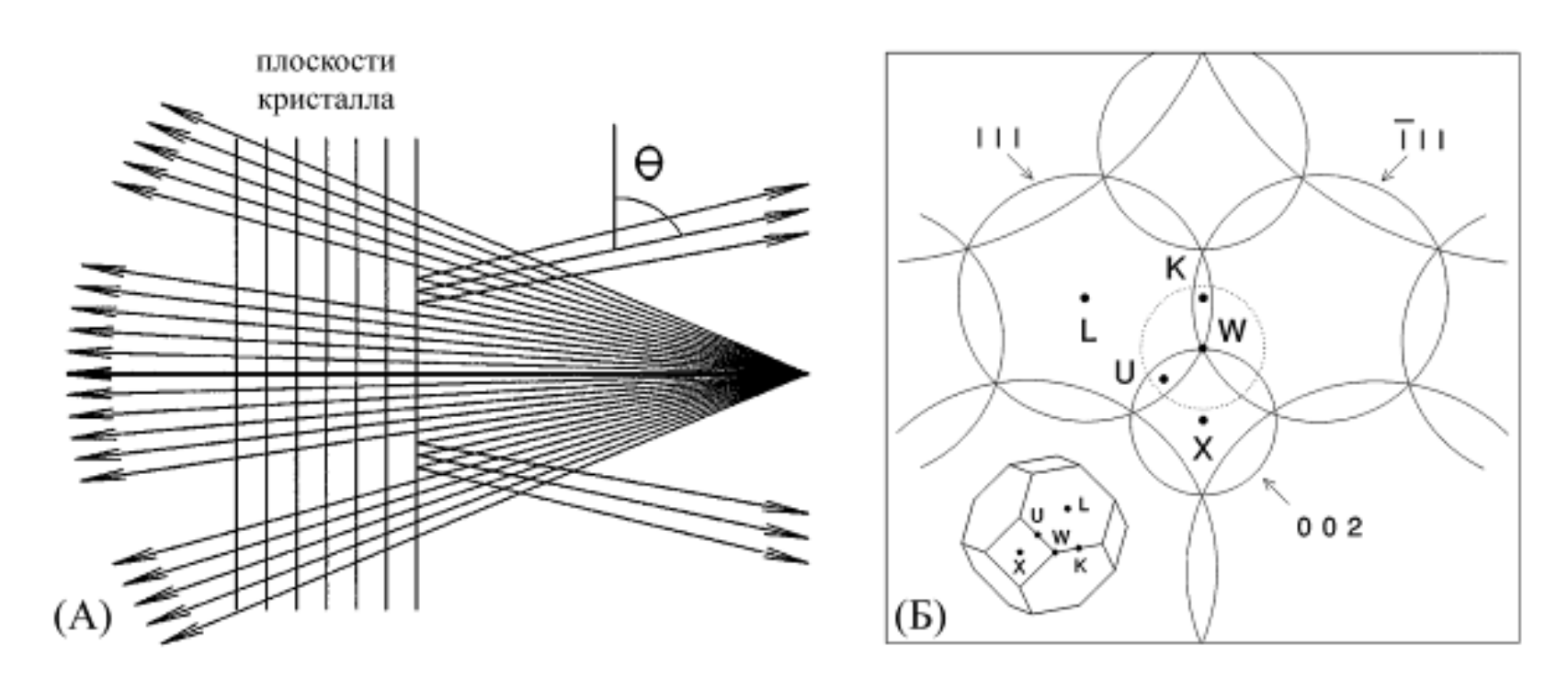
Лазерная дифракция



Доменная карта участка пленки инвертированного опала на основе WO_3 площадью $1,4\times1,7$ мм² (A. Sinitskii et al., *Physics Letters A*, **366** (2007) 516).



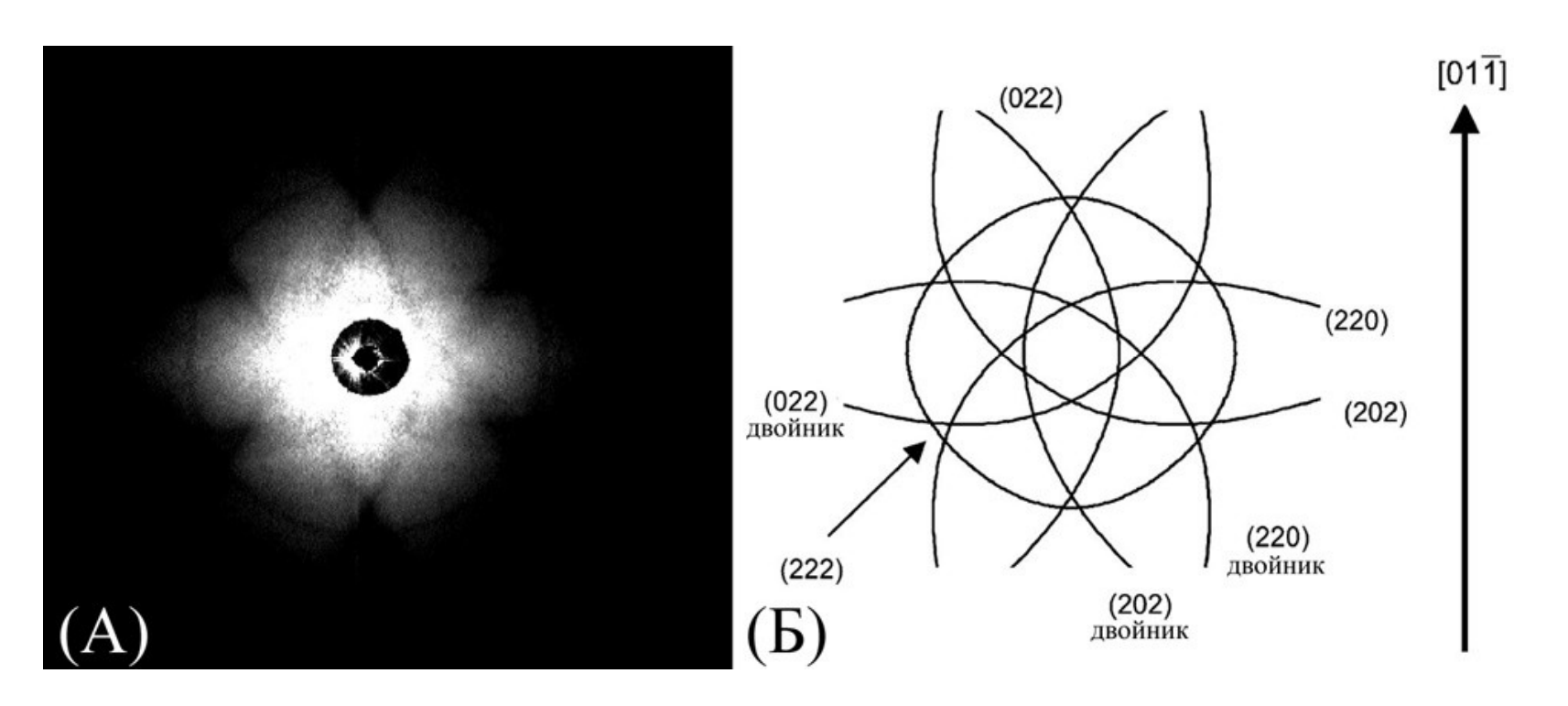
Кольца Косселя



- (А) Схема возникновения колец Косселя в коллоидном кристалле.
- (Б) Смоделированная картина колец Косселя (проекция на полусферическую поверхность), для направления [012] (точка W). λ =583 нм, параметр решетки 486 нм.
- I. I. Tarhan, G. H. Watson, Phys. Rev. Lett., 76 (1996) 315.



Кольца Косселя



- (A) Картина колец Косселя при нормальном падении лазерного излучения (λ = 488 нм, параметр решетки 766 нм) на плоскость (111) коллоидного кристалла.
- (Б) Схематическое изображение полученных линий и их интерпретация двойникованная ГЦК структура.
- S.Asher et al., *Phys. Rev. E*, **69** (2004) 066619.

Реальная структура опалов и инвертированных опалов

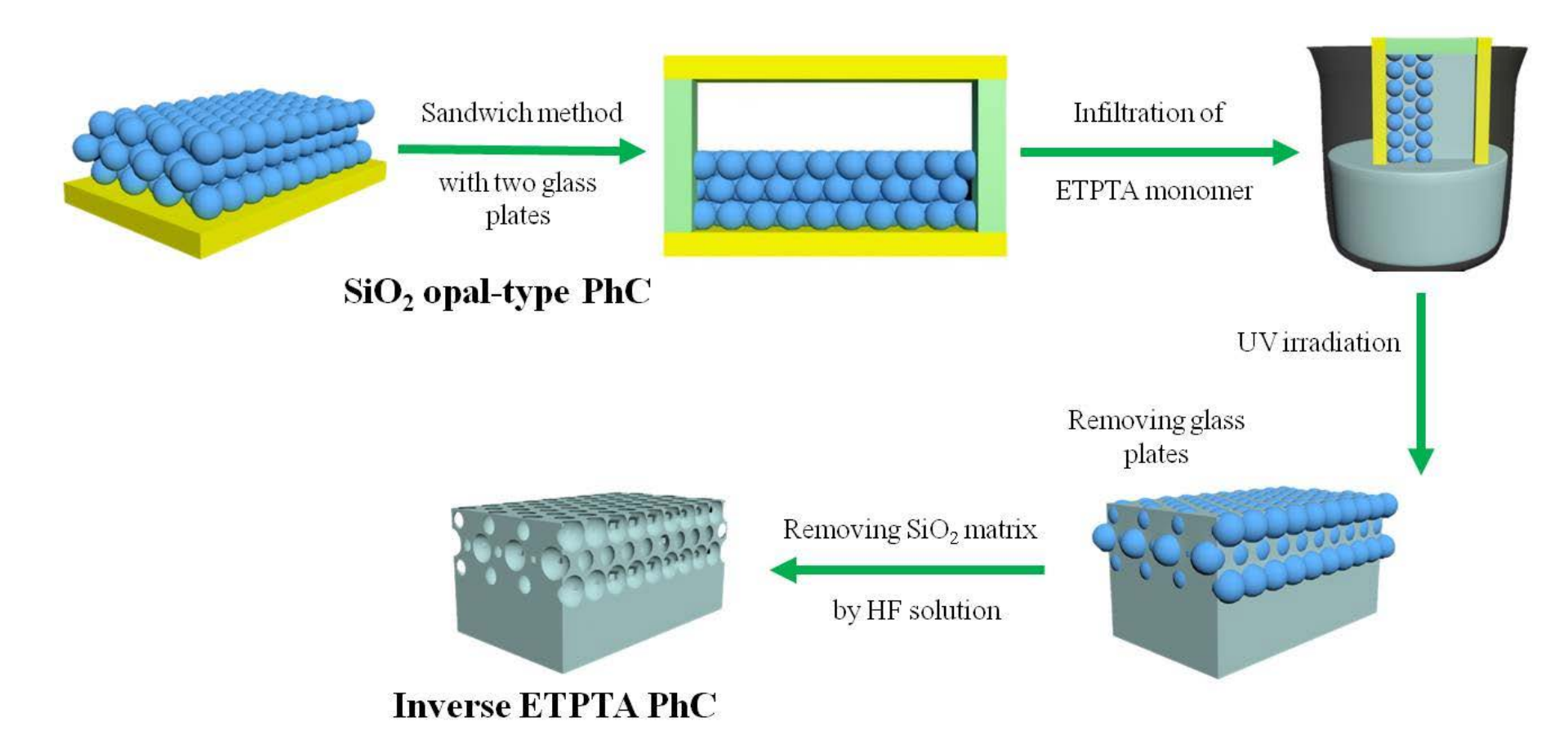


Как бороться с несовершенством структуры?

- сужать дисперсию коллоидных микрочастиц;
- применять другие, более прогрессивные по сравнению с коллоидной химией, методы изготовления фотонных кристаллов: циклическое вытравливание пор, интерференционная литография и пр.
- применять «мягкие», сохраняющие структуру методы инвертирования;

Реальная структура опалов и инвертированных опалов



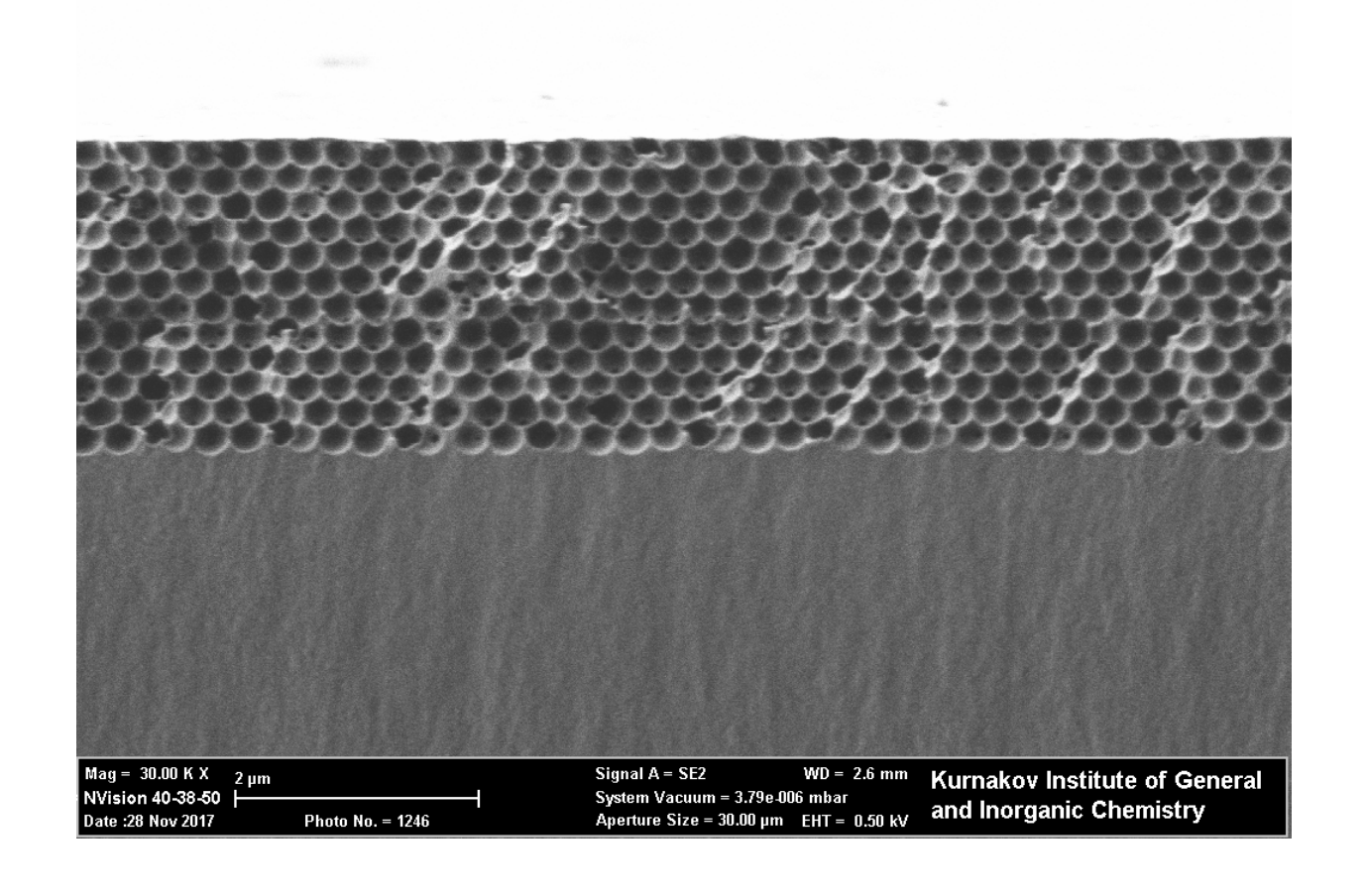


Инвертирование с помощью фоточувствительной смолы ETPTA = триметилолпропан этоксилат триакрилат

M. Ashurov, A. Baranchikov, S. Klimonsky, PCCP, 22 (2020) 9630.

Реальная структура опалов и инвертированных опалов



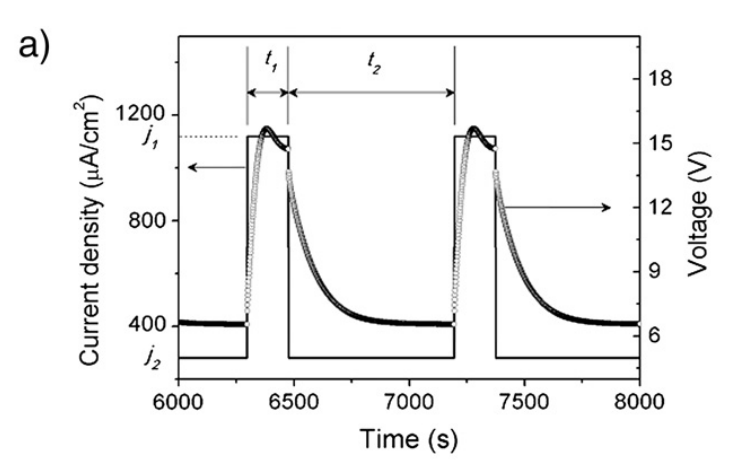


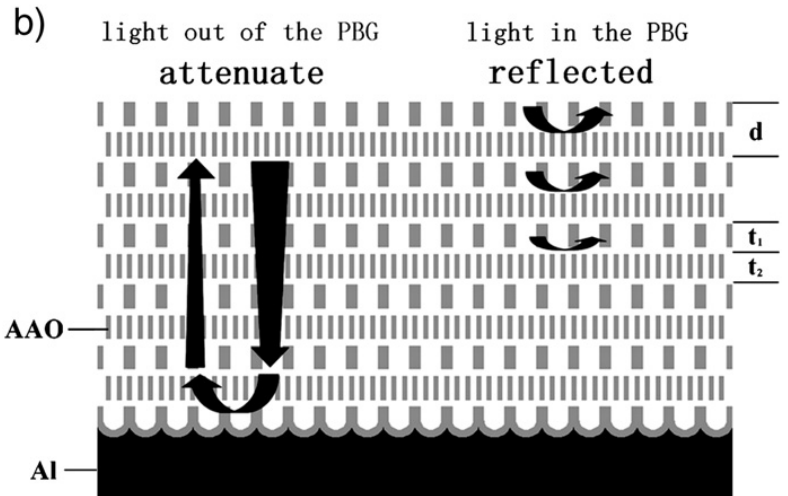
Инвертирование с помощью фоточувствительной смолы ETPTA = триметилолпропан этоксилат триакрилат

1D-фотонные кристаллы на основе анодного оксида алюминия



Метод импульсного анодирования алюминия с циклически меняющейся плотностью тока



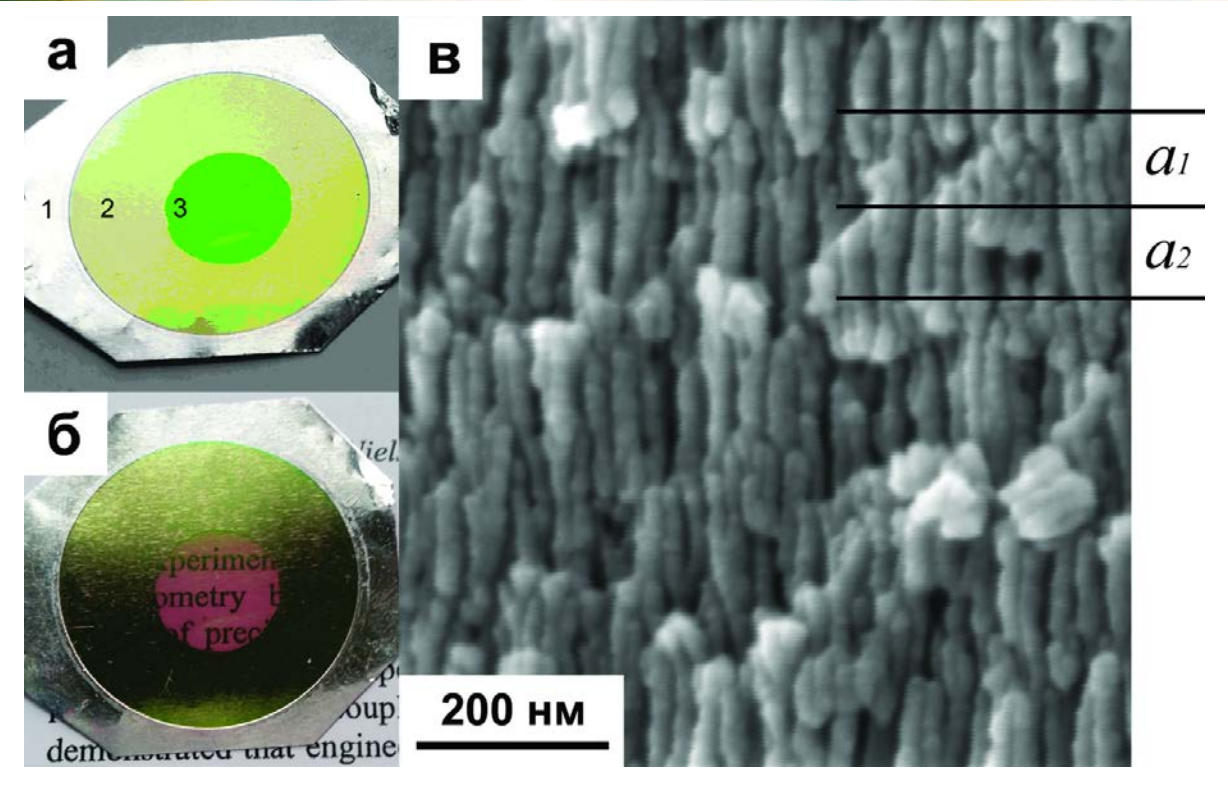


Y. Liu et al. Electrochemistry

Commun. 13 (2011) 1336.

1D-фотонные кристаллы на основе анодного оксида алюминия

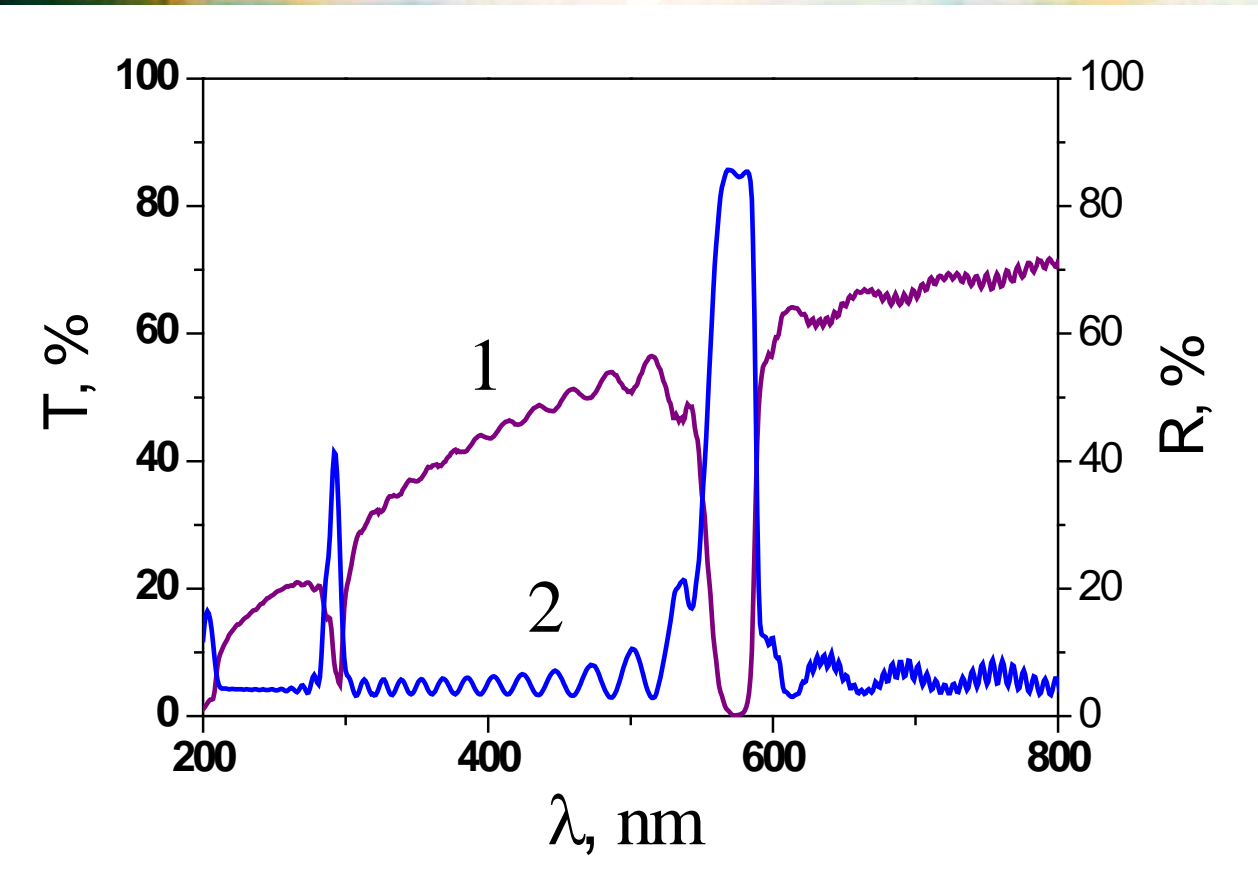




- (а, б) Фотографии пористой пленки (ПП) анодного оксида алюминия:
- 1 поверхность алюминия; 2 поверхность ПП на алюминии; 3 поверхность ПП в свободном состоянии.
- (в) Электронномикросктпическое изображение поперечного скола ПП.
 - В.С. Горелик, С.О. Климонский, В.В. Филатов, К.С. Напольский. *Оптика и спектроскопия* **120** (2016) 562.

1D-фотонные кристаллы на основе анодного оксида алюминия

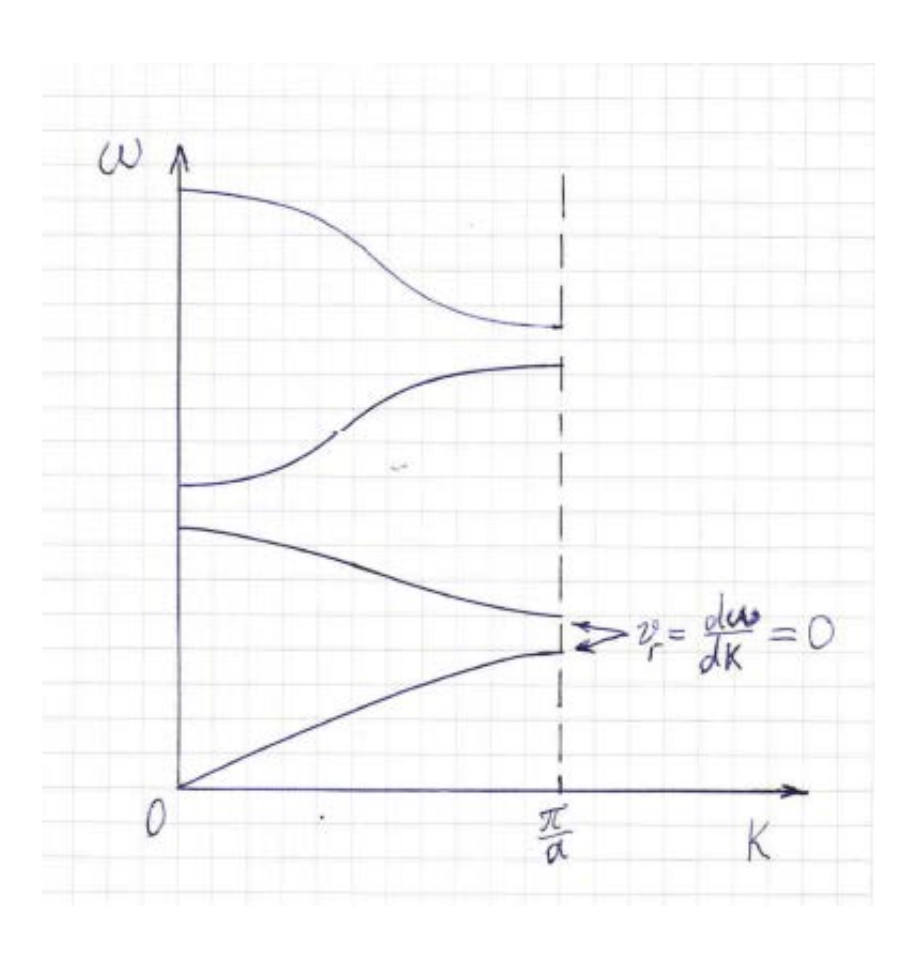




- 1 спектр пропускания в нормальном направлении;
 2 спектр отражения под углом 8° от лицевой стороны образца.
- Р.С. Гороник С.О. Унимономий Р.Р. Финотор V.С. Нопоньюмий
- В.С. Горелик, С.О. Климонский, В.В. Филатов, К.С. Напольский. *Оптика и спектроскопия* **120** (2016) 562.

Усиление взаимодействия света с веществом





Замедление света на границе зоны Бриллюэна

Триметилолпропан этоксилат триакрилат (ETPTA)

RO
$$CH_3$$
 $R = * \left(\begin{array}{c} O \\ CH_2 \end{array} \right)$